

# بررسی توزیع دما درون سر انسان و هوای اطراف

سعید زینالی هریس، دانشیار گروه مهندسی شیمی، دانشکده مهندسی، دانشگاه فردوسی مشهد

zeinali@ferdowsi.um.ac.ir

ثامر اسعدی، دانشجوی دکتری مهندسی شیمی، دانشکده مهندسی، دانشگاه فردوسی مشهد

samerasadi@yahoo.com

## چکیده

از جمله مدل‌های شناخته شده برای بررسی انتقال حرارت درون سر انسان معادله پنس<sup>۱</sup> است. در این معادله، تولید حرارت در بافت زنده، ناشی از دو منع خونرسانی و سوختوساز می‌باشد. با بالارفتن دمای بافت‌های سطحی، یک سازوکار انتقال حرارت جابه‌جایی آزاد در اطراف سر شکل می‌گیرد. در این مقاله، مطالعات انجام شده روی توزیع دما درون سر و هوای اطراف آن، همچنین پروفایل‌های توزیع بردار سرعت در هوای اطراف سر تجزیه و تحلیل شده است. همچنین مدلی دوبعدی از سر انسان در محیط نرمافزار گمبیت<sup>۲</sup>، ویرایش<sup>۳</sup>، شبیه‌سازی شده و با استفاده از روش حجم محدود و نرمافزار فلوئنت<sup>۴</sup>، ویرایش<sup>۵</sup>، توزیع دما در اطراف سر (در حالت ناپایدار) بررسی شده است.

**واژگان کلیدی:** جابه‌جایی آزاد، معادله پنس، سوختوساز مغز، خونرسانی، انتقال حرارت سر انسان



پژوهشی / علمی / تحقیقی / تئوری / تطبیقی

## مقدمه

سوختوساز مغز می‌شود و در نتیجه نیاز آن را به دریافت اکسیژن و دفع دی اکسید کربن و بالطبع خونرسانی کاهش می‌دهد. گزارش‌های منتشر شده نشان داده‌اند که کم خونی اثر مخرب کمتری روی مغز بهجای خواهد داشت [۲]. ملاحظات انتقال حرارت مغز در بازگشت به حیات کسانی که در آبهای سرد غرق می‌شوند نیز مؤثر است. به طوری که در اثر این پدیده بازگشت به زندگی افرادی که در آبهای سرد غرق شده‌اند حتی تا بعد از ۶۶ دقیقه نیز گزارش شده است [۳]. این مسئله عموماً به‌خاطر قطع فعالیت متابولیکی مغز و آثار محافظتی این سردشدنی است. مطالعه و بررسی عکس‌العمل خنکشدن سر در

مطالعات آسیب‌شناسی مغزی به صورت تجربی نشان می‌دهد که سرد کردن ملايم مغز پس از ایسکمی<sup>۶</sup> مغزی می‌تواند میزان خدمات واردہ به مغز را کاهش دهد. سادگی و بازده بالای سرمایش مغز سبب شده است تا پزشکان از آن به عنوان راه حلی کلینیکی جهت درمان نوزادانی که از عارضه خفگی (نزرسیدن اکسیژن) در زمان تولد رنج می‌برند، استفاده کنند [۱]. همچنین سرد کردن فوری مغز درست در دقایق اولیه پس از حمله ایسکمی، امری مهم و ضروری جهت کاهش پیامدها و خدمات واردہ به مغز و نجات بیمار است. این عمل (سرد کردن فوری مغز) سبب افت

۱] دسته دیگر بدون مدل نمودن انتقال حرارت درون بافت، تنها به بررسی الگوی جریان خارج از بدن (به صورت تجربی) پرداخته اند [۵].

ون لیون و همکارانش در سال ۲۰۰۰ م با مدلسازی سردکردن مغز نوزاد به این نتیجه رسیده‌اند که با قراردادن سر در محیطی با دمای پایین (۱۰ درجه سانتی‌گراد) تنها مناطق سطحی مغز تا حدود ۳۴ تا ۳۳ درجه سانتی‌گراد سرد می‌شود و تغییر دمای محسوسی در مناطق عمقی آن به وجود نخواهد آمد. همچنین مدلسازی از توزیع دما در سر یک انسان بالغ تحت سرما درمانی با گذاشتن بخ روی سر توسط دنیس و همکارانش در سال ۲۰۰۳ صورت گرفته است. این مدلسازی‌ها با فرض ثابت‌بودن دمای سطح پوست همراه بوده و در آنها هوای اطراف و جنبه انتقال حرارت جابه‌جایی در سیال اطراف سر در نظر گرفته نشده است. از طرف دیگر، از جنبه خارجی، کلارک و همکارانش در سال ۱۹۷۵ مطالعه‌ای برای تعیین جابه‌جایی آزاد در اطراف سر را انجام داده و منتشر کرده‌اند که صرفاً جنبه اندازه‌گیری تجربی را دربر داشته است [۵]. در این تحقیق تأثیر حالت‌های گوناگون بدن (خوابیده و ایستاده) بر الگوی جریان هوای اطراف سر به صورت تجربی مطالعه و ضخامت تقریبی لایه مرزی حرارتی و میزان انتقال حرارت در نقاط گوناگون سر به کمک سیستم نوری شلیلن و کالری‌متر سطحی در آن سال‌ها اندازه‌گیری شده است. در این مقاله، براساس مطالعات کتابخانه‌ای، برای نخستین بار مدلی ارائه شده است که فارغ از اعمال ضرایب انتقال حرارت جابه‌جایی مرزی در سطح مشترک با سیال پیرامون به بررسی انتقال حرارت بدن، خصوصاً سر پردازد. در این مدل توزیع دمای ناشی از سوت و ساز بدن، نفوذ خون در بافت‌های داخلی، توزیع دمای هوای محیط اطراف بدن و همچنین جریان جابه‌جایی آزاد در اطراف سر شبیه‌سازی شده است. انسان باید برای داشتن مغزی با ابعاد امروزی از آب و هوای سرد دوران گذشته زمین متشکر باشد! تحقیقات دانشمندان نشان می‌دهد سردشدن زمین در

مقابل سازوکارهای گوناگون خنک‌کاری می‌تواند ابزاری در جهت طراحی و ساخت تجهیزات قابل حمل جهت خنک‌کاری‌های اورژانس در وسائل نقلیه پژوهشی باشد که با آنها دمای مغز در مدت زمان ۳۰ دقیقه از ۳۷ درجه سانتی‌گراد به ۳۴ درجه سانتی‌گراد رسیده و لذا سوت و ساز آن تا ۳۰ درصد کاهش می‌یابد [۲]. این مطالعات در طراحی سیستم‌های تهویه مطبوع و ایجاد محیط‌های ارگونومیک جهت راحتی افراد نیز می‌تواند مورد توجه قرار گیرد. موارد ذکر شده لزوم و اهمیت بررسی انتقال حرارت از مغز را با سیال اطراف نمایان می‌سازند [۴].

اساساً انتقال حرارت در مغز در قالب تبادل حرارت خارجی (انتقال حرارت از سر)، تبادل حرارت داخل و تولید حرارت متابولیکی می‌باشد. این آثار با شرایط مرزی، گردش خون، نرخ سوت و ساز مغز و ابعاد سر تغییر می‌کنند. بررسی تأثیر عوامل گوناگون در پدیده انتقال حرارت از مغز با دشواری‌هایی روبروست. بهخصوص که امکان انجام آزمایش‌های تجربی در این زمینه، به دلیل خطرات موجود و محدودیت‌های ابزاری ممکن نمی‌باشد. لذا این بررسی‌ها نیازمند مدلی مطمئن با خصوصیات فیزیکی و شرایط محیطی واقعی می‌باشند. از جمله مناسب‌ترین راهکارها جهت مدلسازی این پدیده، بررسی جریان جابه‌جایی آزاد پیرامون سر در شرایط محیطی کنترل شده و استخراج مدل مناسب برای تأمین این شرایط و سپس اعمال شرایط مورد نظر در مدل می‌باشد. بدین ترتیب با داشتن یک مدل مطمئن با شرایط اولیه مشابه شرایط واقعی، می‌توان از صحت نتایج به دست آمده از شرایط مرزی اعمالی، بهخصوص در مورد مسائل زمانی، اطمینان بیشتری حاصل کرد.

عموماً گزارش‌های انتقال حرارت از مغز تاکنون به دو صورت بوده است. یک دسته از این مطالعات شبیه‌سازی را تنها از جنبه انتقال حرارت در داخل بافت‌ها مد نظر قرار داده و در بهترین حالت انتقال حرارت جابه‌جایی را با ضریب انتقال حرارت جابه‌جایی در مدل خود به کار گرفته‌اند [۳] -

چگونگی رشد مغز انسان در ادوار مختلف برداشته است. دانشمندان استفاده از شبیه‌سازی‌های قدرتمند رایانه‌ای را عاملی مهم در دستیابی به این نتایج عنوان می‌کنند.

## مراحل شبیه‌سازی عددی الف: مدلسازی هندسی

هرچند سر انسان به لحاظ هندسی سه‌بعدی است، اما برای سادگی انجام محاسبات و امکان انجام مقایسه با مطالعات پیشین، در این مقاله مدل دو بعدی از سر و مغز با بافت‌های همگن از نظر خواص مکانیکی مد نظر قرار گرفته است. در این مقاله دو مدل، یکی از تصویر قطاع مرکزی سر در صفحه سازیتال<sup>۵</sup> (شکل ۱) و دیگری در محیط گمیت (شکل ۲) در نظر گرفته شده است. هر دو مدل دارای اندازه‌های یکسان و متعلق به یک مرد بالغ می‌باشند.



(الف)



(ب)

شکل ۱. نمایی از (الف) تصویر ام. آر. آی<sup>۶</sup> سر یک مرد بالغ، (ب) مدل استخراج شده سر و موقعیت بافت‌ها [۵]

هندرسه مدل (شکل ۱) براساس مقادیر پاتولوژیکی سر فراهم شده است. مناطق بافتی در این مدل نیز از روی تصویر در پنج دسته مختلف تقسیم‌بندی شده است. استخراج مرز بافت‌ها به صورت دستی و با استفاده از

گذشته‌های بسیار دور اثر قابل توجهی بر شکل‌گیری بهتر ساختار مغز انسان داشته است. در حقیقت سردشدن زمین و عبور از دورانی که گرمای نسبی بر زمین حاکم بوده، بر شکل‌گیری ساختار مناسب مغز انسان تأثیر چشمگیری داشته است. یک دهه پیش، گروهی از دانشمندان این نظریه را مطرح کرده بودند و اکنون تحقیقات جدید مهر تأییدی بر این دستاوردهای است [۶].

فعالیت مغزی در انسان گرمای قابل توجهی تولید می‌کند. بدن نیز برای جلوگیری از وقوع هرگونه مشکل باید این گرمای تولیدی را آزاد کند. حدود یک دهه پیش، دو تن از دانشمندان دانشگاه هاروارد نظریه جالب توجهی مطرح کردند؛ نظریه‌ای مبنی بر اینکه اندازه مغز انسان‌های ماقبل تاریخ به‌واسطه گرمای هوای آن دوران با محدودیت رشد همراه بوده است و احتمالاً تا زمانی که آبوهوای زمین روبه سردی نگذاشته بود، مغز انسان رشد قابل توجهی نداشته است. براساس یافته‌های دانشمندان، سردشدن تدریجی زمین و آبوهوای آن در پنجاه میلیون سال پیش امکان مناسبی برای افزایش ابعاد مغز انسان‌ها فراهم کرده است [۶ - ۸].

طی سال‌های اخیر، تحقیقات متنوعی در این زمینه انجام شده است و تقریباً همگی به این موضوع اشاره دارند که آبوهوای گرم زمین مانع رشد مغز انسان می‌شده است. مدلسازی‌هایی که دانشمندان با استفاده از پیشرفته‌ترین رایانه‌ها انجام داده‌اند، نشان می‌دهند که دو فاکتور گرما و دی اکسید کربن می‌توانند بر سوختوساز بدن و از جمله عملکرد مغز تأثیرگذار باشند. این تحقیقات همچنین نشان می‌دهد احتمالاً آبوهوای زمین حدوداً ۷/۲ درجه فارنهایت کاهش یافته و به دنبال آن مغز انسان‌هایی که قبل از انسان‌های امروزی زندگی می‌کرده‌اند بزرگ‌تر شده است [۹]. همچنین برخی معتقدند این تغییر دمایی با سرمایش کلی زمین همراه شده که خود در افزایش رشد مغز انسان‌ها تأثیر قابل توجهی داشته است [۱۰ - ۱۲]. این تحقیقات هیجان‌انگیز پرده از راز و رمزهای بسیاری درخصوص

بافت زنده ( $q_b$ ) و دیگری تولید حرارت ناشی از سوختوساز ( $q_m$ ).

در این مدل، توزیع سرعت و دما در کلیه بخش‌های مدل سر و هوای اطراف آن از اعمال شرایط تولید حرارت؛ یعنی مقادیر  $q_b$  و  $q_m$  به دست می‌آید. لذا تعیین مقدار و وابستگی آنها از اهمیت خاصی برخوردار است. مقدار  $q_b$  میزان تولید یا دفع انرژی در واحد حجم بافت است که توسط خون جهت حفظ دمای مرکزی بدن در تعادل بیولوژیکی کنترل می‌شود. براساس مدل ارائه شده توسط پنس مقدار این انرژی متناسب با اختلاف دمای مرکزی بافت با دمای خود بافت و میزان نفوذ خون در بافت مذبور می‌باشد. این عبارات در قالب رابطه ۲ در این مدل ارائه شده است [۱۳].

$$q_b = M_p C_p (T_{art} - T) \quad (2)$$

به طوری که در این رابطه  $T$  دمای بافت زنده،  $T_{art}$  دمای خون توزیع شده در بافت،  $M_p$  نرخ نفوذ جرمی خون در واحد حجم بافت و  $C_p$  گرمای ویژه خون می‌باشد. مقدار نرخ نفوذ خون در بافت ( $M_p$ ) به بستر مویرگی موجود در آن بافت وابسته است. همچنین  $q_m$  توان تولیدی در واحد حجم ناشی از فعالیت متابولیکی سلول‌ها در سرتاسر بافت زنده است که در این مقاله به‌خاطر تغییرات اندک دمای مغز، یکنواخت در نظر گرفته شده و به صورت یک منبع تولید حرارت یکسان بر واحد حجم در تمامی بافت زنده مدل شده است. علاوه بر این اثر حرارتی خونرسانی در سرتاسر بافت، در این مدل یکنواخت و ایزوتropیک در نظر گرفته شده است [۱۴ - ۱۶].

### جريان جابه‌جایی آزاد سیال اطراف سر

انتقال حرارت جابه‌جایی آزاد از سر به دلیل اختلاف دمای سطح بدن با دمای محیط پدیده‌ای است که بدن انسان همواره با آن رویرو بوده و با وجود طبیعت آرام آن، ملاحظات پزشکی و حیاتی گوناگونی را طلبیده است [۱۵ - ۱۸]. در این پدیده، در اثر انتقال حرارت از سر به محیط،

نرم‌افزار مکانیکیال دسکتاپ<sup>۷</sup> ویرایش ۲۰۰۵ م صورت گرفته است. تقسیم‌بندی بافت‌ها در دسته‌های مغز، استخوان، ماهیچه، غضروف و پوست، که عناصر مهم (از نظر حجمی) در سر می‌باشند، انجام شده است.

سعی شده است بافت‌هایی که از نظر خواص فیزیکی و حرارتی رفتار مشابهی دارند، در دسته‌های فوق ترکیب شوند. مثلاً بافت‌های ماده خکستری و ماده سفید از هم تمایز نشده و یا بافت چربی به‌سبب خواص فیزیکی مشابه، در گروه بافت پوست قرار گرفته است. ابعاد منطقه‌ای که سیال قرار دارد در این تحلیل (برای هر دو مدل  $1200 \times 750$  میلی‌متر در نظر گرفته شده است. برای تعیین مقادیر پارامترهای فیزیکی و فیزیولوژیکی برای بافت‌ها (جدول ۱) که شامل هدایت، چگالی، گرمای ویژه، سوختوساز این بافت‌ها می‌باشد، نیز از گزارش‌های دنیس و همکارانش استفاده شد [۲].



شکل ۲. تصویر سر یک انسان بالغ در محیط نرم‌افزار گمیت

### انتقال حرارت در بافت زنده

در مورد بافت‌های زنده عموماً از مدل شناخته شده پنس جهت مدل کردن انتقال حرارت ناشی از دیفیوژن خون استفاده می‌شود که در نبود انتقال حرارت تشعشعی و جابه‌جایی رابطه انتقال حرارت را به صورت زیر ارائه می‌دهد [۶]:

$$\rho C_p \frac{\partial T}{\partial t} = \nabla k (\nabla T) + q_b + q_m \quad (1)$$

در واقع، پنس دو منبع تولید حرارت داخلی برای یک بافت زنده در نظر گرفت. یکی تولید حرارت ناشی از خونرسانی به

و با نتایج انتقال حرارت از یک استوانه با ابعاد معادل سر مقایسه شده است. در این تحقیق تصریح شده است که وضعیت بدن انسان (خواهید یا ایستاده) در نتایج جابه‌جایی آزاد به میزان زیادی مؤثر است [۵]. توجه به این لایه مرزی دما پیش از کلارک و همکارانش، توسط لویس در سال ۱۹۶۹ و فروئس و همکارانش در سال ۱۹۷۵ مورد توجه بوده است [۷].

هوای مجاور سر گرمتر می‌شود و چگالی کمتری پیدا می‌کند و بهجهت سبکتر بودن بهسمت بالا حرکت می‌نماید [۱۹]. این مسئله سبب ایجاد یک سازوکار جابه‌جایی در محیط اطراف سر می‌شود. ضخامت تقریبی لایه مرزی حرارتی، سرعت هوا در لایه‌های سطحی و میزان انتقال حرارت در نقاط خاصی از سر توسط کلارک و همکارانش، در سال ۱۹۷۵ م، بهصورت تجربی اندازه‌گیری

جدول ۱. خصوصیات ترموفیزیکی استفاده شده برای بافت‌های گوناگون سر در مدلسازی [۵]

تولید حرارت $q_m$ وات بر متر مربع	ضریب نفوذ $M_p$ کیلوگرم بر متر مکعب ثانیه	ظرفیت حرارتی ژول بر کیلوگرم کلوین	چگالی کیلوگرم بر متر مکعب	ضریب هدایت حرارتی وات بر متر کلوین	
۳۳	۰/۴۳۳	۲۴۹۵	۱۴۸۰	۰/۳۴	پوست
۳۳	۰/۴۳۳	۳۵۴۳	۱۰۴۰	۰/۵۲	ماهیچه
۵	۰/۰۶۶	۱۵۰۰	۱۶۰۰	۱/۱۶	استخوان
۵۲۵	۸/۶	۳۶۸۰	۱۰۰۰	۰/۵۲	مغز
+	+	۳۶۸۰	۱۰۰۰	۰/۵۲	غضروف

$$\rho C_p V \nabla T = -k \nabla^2 T \quad (5)$$

به طوری که در این روابط  $V$  سرعت،  $P$  فشار،  $\beta$  ضریب انبساط حرارتی،  $g$  شتاب گرانش،  $k$  ضریب هدایت حرارتی،  $T_a$  دمای مرجع جهت محاسبه چگالی سیال و  $C_p$  ظرفیت حرارتی سیال می‌باشد. جدول ۲ مقادیر این پارامترها را برای هوا در دمای ۲۳ درجه سانتی‌گراد، که در این مقاله به عنوان دمای محیط در نظر گرفته شده است، را نشان می‌دهد.

معادلات ۳ و ۴ شامل معادلات پیوستگی و مومنتوم برای جریان تراکم‌ناپذیر همراه با ترم نیروی حجمی (ترم آخر معادله دوم) جهت اعمال تغییرات دمایی چگالی سیال می‌باشد [۲۳]. رابطه ۵ معادله انتقال حرارت در اثر پدیده جابه‌جایی و پدیده انتشار در هوای اطراف سر است که به علت حضور ترم نیروی جابه‌جایی در معادلات مومنتوم باعث همبسته شدن این معادلات است و باستی همزمان حل شوند. باید توجه داشت که به علت ناچیز بودن سرعت در

در این مقاله، رابطه بقای انرژی درون بافت به معادلات پیوستگی، مومنتوم و انرژی در سیال اطراف سر پیوند داده می‌شود. ویژگی جریان جابه‌جایی آزاد در نیروهای اعمالی داخل سیال است که در آن نیروهای حجمی در مقایسه با نیروهای اینرسی و لزجی اهمیت بیشتری پیدا می‌کند. در بررسی پدیده جابه‌جایی آزاد عموماً از تقریب بوسینسک<sup>۱</sup>، که در آن مقدار چگالی تابعی از دما در معادلات مومنتوم و انرژی لحظه‌ای شود، استفاده می‌شود [۲۰ – ۲۲]. به این ترتیب معادلات حاکم در جابه‌جایی آزاد به علت تغییرات دمایی چگالی، همبسته می‌باشند. در اینجا تغییرات چگالی عامل تولید نیروی حجمی در رابطه مومنتوم می‌باشد. به این ترتیب معادلات حاکم بر سیال اطراف سر به شکل معادلات ۳ تا ۵ می‌باشند:

$$\nabla V = 0 \quad (3)$$

$$\rho V \cdot \nabla V = -\nabla P + \mu \nabla^2 V + \rho g \beta (T - T_a) \quad (4)$$

(شرط مرزی عدم لغش) در نظر گرفته شده است. تنش در مرزهای قائم کناری صفر (شرط لغش) و در مرز پایین دمای سیال ورودی ۲۹۵ کلوین به همراه تعیین شرط فشار اعمال و در مرز بالا شرط خروجی سرعت با دمای سیال برگشتی ۲۹۵ کلوین اعمال شده است. این شرایط اجازه ورود هوا به مدل از مرز پایین و خروج - ورود از مرز بالا را فراهم می‌کند. شار حرارتی از ناحیه گردن به بافت‌های سر نیز صفر است. به این ترتیب آثار بخش‌های تحتانی بدن در این مدل‌سازی‌ها حذف شده است. مقدار اولیه دمای میدان محاسباتی و دمای دو دیواره کناری آن نیز در ۲۹۵ کلوین (۲۲ درجه سانتی‌گراد) ثابت در نظر گرفته شده است تا شرایط محیطی دما معین شود.

شتاب جاذبه برابر با  $9/81$  متر بر مجدد ثانیه در نظر گرفته شد. در این مدل دو منبع حرارت داخلی متabolism و خونرسانی در بافت‌ها اعمال شد که برای بافت‌های متعدد مقدار آن متفاوت بود. از رابطه ۱ این ترمها به صورت زیر مشخص می‌شوند:

$$q_m \text{ تولید حرارت ناشی از سوختوساز بدن}$$

$$q_b \text{ تولید حرارت ناشی از خونرسانی}$$

$$q_b = M_p C_p (T_{art} - T)$$

به طوری که در این رابطه  $T_{art}$  دمای خون است که مقدار آن ۳۷ درجه سانتی‌گراد در نظر گرفته می‌شود. مقادیر  $q_m$ ,  $C_p$ ,  $M_p$  و سایر خواص ترموفیزیکی در بخش‌های مختلف مدل سر در جدول ۱ آمده است [۱].

به دلیل اختلاف ارتفاع کم در هر دو مدل از اختلاف فشار ناشی از اختلاف ارتفاع در سطح زیرین و بالای مدل‌ها صرف‌نظر شد. در این مدل‌ها، شبکه محاسباتی توسط بسته نرم‌افزاری گمبیت آماده شد، سپس معادلات ۳ و ۴ و ۵ با استفاده از بسته نرم‌افزاری Flownet، ویرایش ۶، با استفاده از روش حجم محدود حل شد. حجم‌های محدود از نوع مثلثی انتخاب و در بافت‌ها و ناحیه سیال اطراف سر متراکم‌تر چیزه شدند. برای حل، جهت معادلات گسسته مومنتوم و انرژی از روش کویک و جهت همبستگی فشار - سرعت از

این جریان از ترم اتلاف لزجی در معادله انرژی صرف‌نظر شده است.

## جدول ۲. خصوصیات فیزیکی هوا

در دمای ۲۳ درجه سانتی‌گراد [۷]

ضریب هدایت حرارتی وات بر متر کلوین	$0/0263$
چگالی کیلوگرم بر متر مکعب	$1/1414$
لزجت نیوتن ثانیه بر متر مربع	$1/846 \times 10^{-5}$
انبساط حرارتی بر کلوین	$0/0033$
ظرفیت حرارتی ژول بر کیلوگرم کلوین	۱۰۰۷

نسبت نیروهای حجمی بر نیروی لزجی در جابه‌جایی آزاد توسط عدد بی بعد گراش  $Gr^9$  توصیف می‌شود [۲۴].

$$Gr = \frac{g L^3 (T_s - T_a)}{V^2 T_a} \quad (6)$$

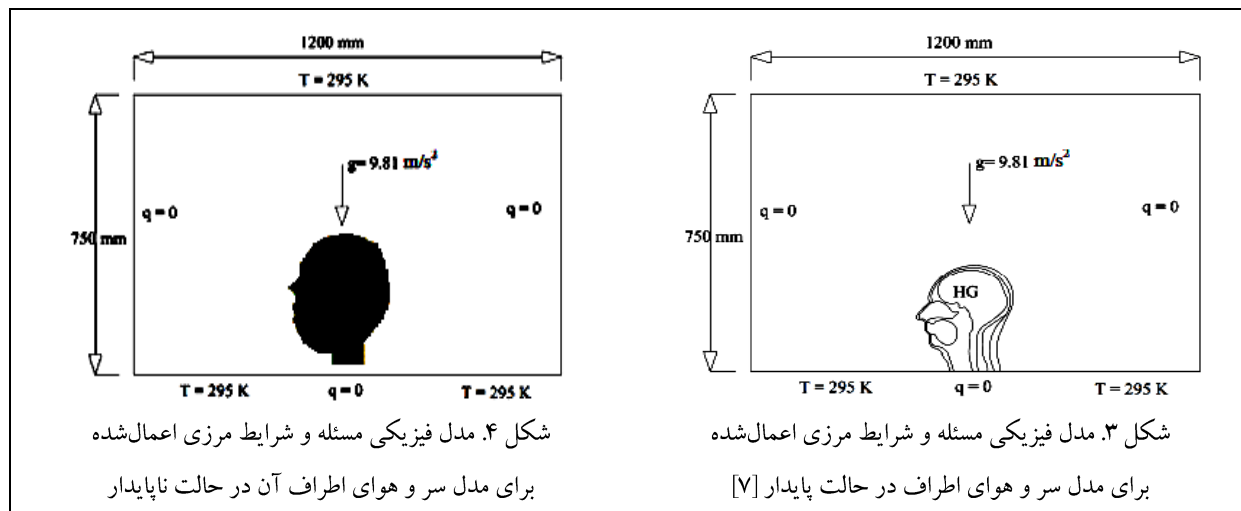
به طوری که در آن  $L$  طول مشخصه جسم،  $V$  لزجت سینماتیک هوا و  $T_s$  دمای سطح پوست بر حسب کلوین می‌باشد. عدد گراش همان نقشی را در جریان جابه‌جایی آزاد ایفا می‌کند که عدد رینولدز در جابه‌جایی اجباری. این عدد نشانگر نسبت نیروی شناوری به نیروی ویسکوز است. چنانچه عدد گراش کوچک‌تر از  $2 \times 10^9$  باشد، رژیم جریان لایه‌ای است و اگر بزرگ‌تر از  $10^{10}$  باشد، آشفته خواهد بود. در اعداد بینایین، گذر از رژیم لایه‌ای به آشفته مشاهده می‌شود. در مورد مسئله مورد بررسی، جریان آزاد حول سر عدد گراش از درجه  $1/5 \times 10^7$  بوده، لذا رژیم جریان لایه‌ای صادق است.

## اعمال شرایط مرزی و حل مدل

شکل‌های ۳ و ۴ نحوه استقرار مدل سر برای هر دو مدل در درون هوای محیط و شرایط مرزی اعمال شده را نشان می‌دهند. در این مدل‌ها سرعت سیال در مرز بافت‌ها صفر

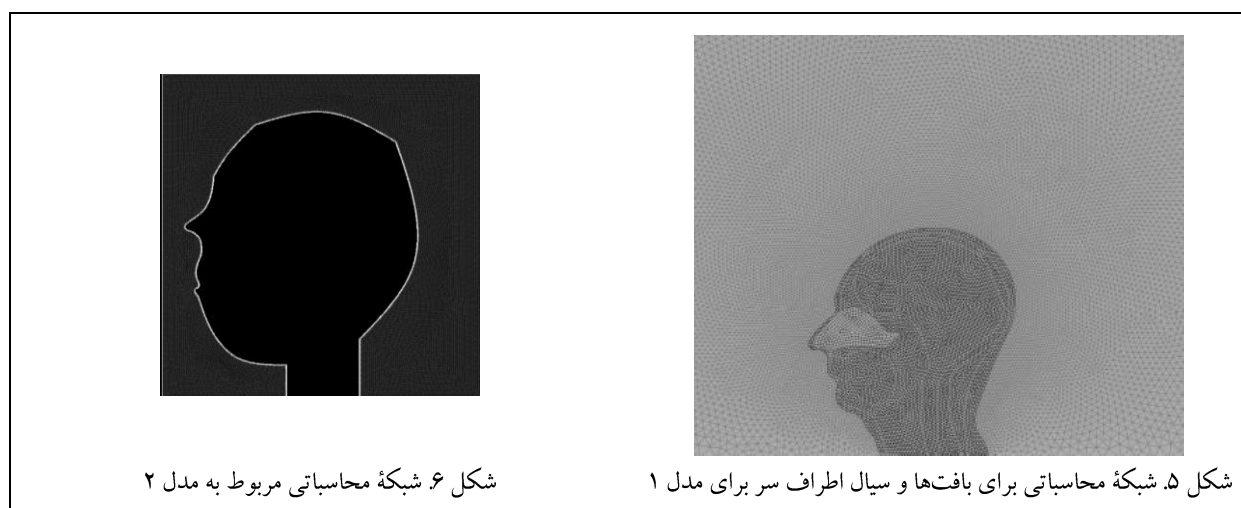
مرتبه یک با گام زمانی ۱/۰ استفاده شد [۲۷]. زمان تا رسیدن به حالت پایا، که با عدم تغییر در مقادیر متغیرها تعریف می‌شود، ادامه یافت.

الگوریتم سیمپل استفاده شد [۲۶ - ۲۴]. برای اجتناب از عدم پایداری جواب (واگرایی در حل معادلات) از روش ناپایا بهره گرفته شد. بدین منظور از الگوریتم ضمنی اویلر



حجم محدود برای مدل‌های ۱ و ۲ مشاهده شد. شکل‌های ۵ و ۶ شبکه محاسباتی انتخابی را نشان می‌دهند [۲۸].

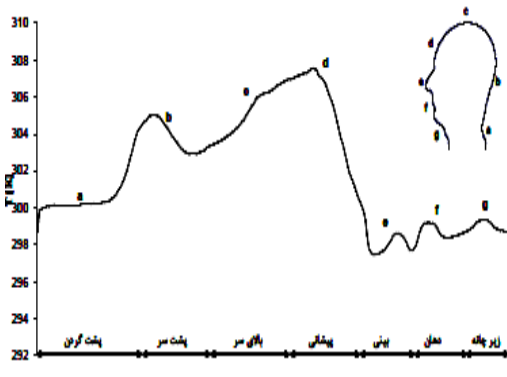
شبکه‌های محاسباتی با اندازه‌های مختلف برای حل مسئله بررسی شد و در این شبکه‌ها به ترتیب ۱۴۱۰۰ و ۱۶۳۰۰



نرم‌افزار فلوئنت، ویرایش ۶ پروفایل‌های توزیع دما درون سر و هوای اطراف آن حالت پایدار، همچنین پروفایل‌های توزیع بردار سرعت در اثر پدیده جابه‌جایی آزاد در هوای اطراف سر به دست آمد. بافت‌های مدل شده در سر عبارت است از پوست، ماهیچه، استخوان، غضروف و مغز [۲۹ - ۳۱]. بعلاوه مدل دیگری از سر انسان در همان ابعاد مدل

**ارزیابی نتایج حل عددی**  
در این مطالعه مدلی دوبعدی (مدل ۱) از سر یک انسان بالغ در حالت ایستاده در مقطع سازیتال میانی در نظر گرفته شده است. این مدل با استفاده از تصویر ام. آر. آی. مقطعی سر انسان حاصل شده است. بخش‌های مختلف آناتومی سر مرزبندی شده و سپس با استفاده از روش حجم محدود و

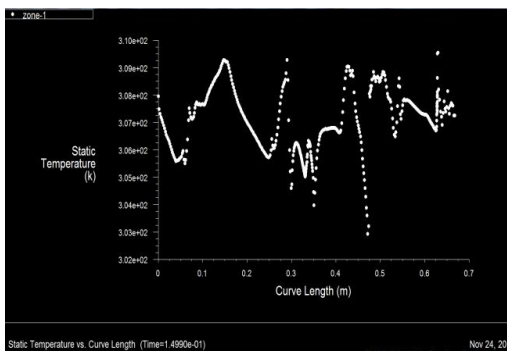
ضخامت لایه مرزی در قسمت پایینی پشت سر و جلوی صورت حداکثر مقدار خود را دارد. ناحیه بالای سر نیز حداقل ضخامت لایه مرزی را دارد. به علاوه، این دو ناحیه (قسمت پایینی پشت سر و جلوی صورت) حداکثر دمای ممکن (۳۰۹ کلوین) را دارند (شکل ۱۰). بنابراین توزیع دمای اطراف سر انسان در حالت واقعی (حالت ناپایدار) کاملاً متفاوت با توزیع دما در حالت پایدار است.



شکل ۸. نمودار توزیع دما در روی مرز خارجی سر در حالت جریان پایا

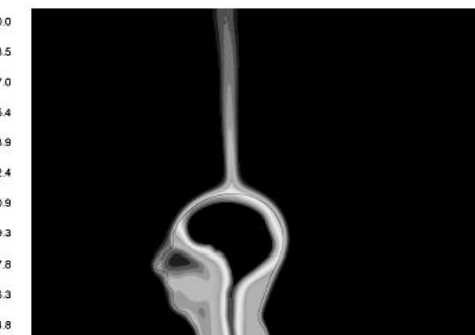


شکل ۹. توزیع دما در اطراف سر انسان در حالت ناپایدار



شکل ۱۰. نمودار توزیع دما اطراف سر انسان در حالت ناپایدار

۱ در محیط گمیت شبیه‌سازی شده و با استفاده از نرم‌افزار فلوئنت، ویرایش عرض توزیع دما روی پوسته سر در حالت ناپایدار بررسی شده است. شکل ۷ توزیع دمای ناشی از حل میدان سیال و بافت‌های سر را تحت شرایط ذکر شده ارائه می‌نماید. ملاحظه می‌شود که مقدار بیشین دما در این مدل ۳۷ درجه سانتی‌گراد است که مربوط به بافت مغز می‌باشد. به تدریج بعد از این ناحیه دمای بافت‌های دیگر کاهش یافته است. غضروف در ناحیه بینی مقدار کمینه دما ۲۹۵/۷ کلوین) را دارد. این ناحیه به خاطر عدم تولید حرارت کمینه دما را به خود اختصاص می‌دهد.

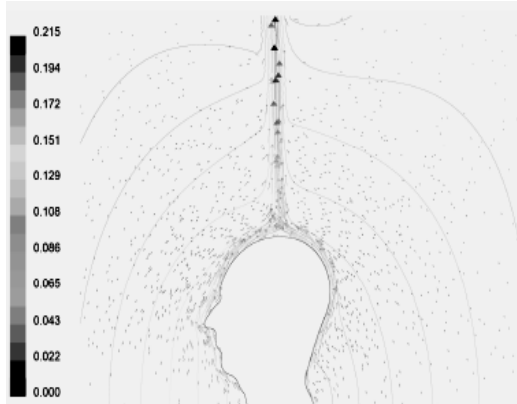


شکل ۷. توزیع دما برای دو ناحیه درون سر و هوای محیط در حالت جریان پایا

ضخامت لایه مرزی حرارتی در ناحیه جلوی صورت از مقدار بیشتری برخوردار است. این در حالی است که در ناحیه پشت گردن این ضخامت کمتر است. تداخل لایه مرزی حرارتی جلو و پشت سر منجر به ایجاد یک منطقه با دمای بالا (۳۰۰ کلوین) در بالای سر شده است. دمای منطقه هوایی که بافت سر را در بر گرفته است در حدود ۲۷ درجه سانتی‌گراد مشاهده می‌شود. شکل ۸ نمودار توزیع دما روی مرز خارجی سر را نشان می‌دهد. بیشینه دمای پوست در محل پیشانی سر ( محل رشد مو) و کمینه آن روی بینی (هم ارتفاع چشم) رخ داده است.

شکل ۹ توزیع دمای ناشی از حل معادلات انرژی و مومنتوم (در محیط فلوئنت) در حالت ناپایدار را نشان می‌دهد. همان‌طور که در این شکل مشاهده می‌شود

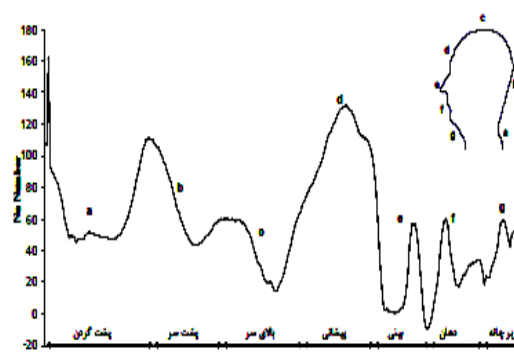
حرارتی ناشی از آن - که سبب تغییر چگالی هوا در لایه مرزی حرارتی شده - به وجود می‌آید. مقدار سرعت در ناحیه لایه مرزی از پایین به بالا به تدریج افزایش می‌یابد. در سمت صورت، سرعت حداکثر هوا در مقابل نوک بینی افزایش سریع‌تری داشته و به اندازه  $0.09$  متر بر ثانیه می‌رسد که در مقایسه با پشت سر در ارتفاع یکسان  $0.08$  متر بر ثانیه است. بالای سر جریان هوا به صورت جت شکل گرفته است که در آن سرعت به اندازه بیشینه خود یعنی  $0.20$  متر بر ثانیه می‌رسد. نتایج مشاهده شده مشابه آزمون کلاسیک جریان آزاد حول استوانه و یا کره است.



شکل ۱۲. خطوط تراز جریان و توزیع بردارهای سرعت در هوای اطراف سر در اثر جابه‌جایی آزاد

نمودار شکل ۱۱ توزیع عدد بی‌بعد ناسلت<sup>۱۰</sup> روی مرز خارجی سر را نشان می‌دهد. بیشینه آن در محل پیشانی سر (کمی پایین‌تر از محل رشد مو) و کمینه آن بالای لب فوکانی (زیر بینی) رخ داده است. با مقایسه‌ای با نمودار ۸ می‌توان دریافت که این نقاط روی مقادیر دما دقیقاً منطبق نیستند.

شکل ۱۲ نتایج میدان سرعت هوای اطراف سر را در حالت پایدار نشان می‌دهد. همان‌طور که از نتایج گزارش شده کلارک و همکارانش پیش‌بینی شد، جریان آزاد هوا در اطراف سر به‌علت تولید حرارت در داخل بافت‌ها و تبادل



شکل ۱۱. نمودار توزیع عدد بی‌بعد ناسلت روی مرز خارجی سر

از این مقاله نتیجه شده است که در هوای محیط با جابه‌جایی آزاد بیشینه دما (در حالت پایدار) در محل مغز و همچنین حداکثر سرعت در بالاترین نقطه سر (فرق) حاصل می‌شود. از دیگر نتایج این مقاله اینکه سرمایش تأثیر بسزایی بر رشد و کاهش صدمات مغزی دارد. بدلاً از نتیجه شد که در حالت ناپایدار ناحیه‌های قسمت پایینی پشت سر و جلوی صورت حداکثر ضخامت لایه مرزی حرارتی و ناحیه بالای سر حداقل لایه مرزی حرارتی را داشت که این نتیجه (صرف‌نظر از خطاهای ناچیز ابعاد سر) بر عکس حالت پایدار است. بنابراین بررسی توزیع دما در سر

## نتیجه‌گیری

این مقاله با موضوع بررسی توزیع دما در سر انسان با حضور تبادل حرارت آن با هوای اطراف از طریق جابه‌جایی آزاد انجام شد. در این رهگذر دو مدل دوبعدی از سر انسان در نظر گرفته شد. این مدل‌ها با استفاده از آناتومی واقعی سر انسان و شبیه‌سازی در محیط گمبیت به دست آمدند. مدل‌سازی در دو بخش همبسته صورت گرفت؛ بخشی که شامل بافت‌های زنده بدن بوده و انتقال حرارت در آنها را بررسی می‌کند و بخشی که شامل جریان جابه‌جایی آزاد ناشی از اختلاف دمای سطح بدن با هوای اطراف می‌باشد.

- [5] Clark, R. P., and Toy, N., "Natural Convection around the Human Head", *J. Physiol.*, vol. 244, pp. 283-293, 1975.
- [6] Pennes, H. H., "Analysis of Tissue and Arterial Blood Temperatures in the Resting Forearm", *J. Appl. Physiol.*, vol. 1, pp. 93-122, 1948.
- [7] Incropera, F. and DeWitt, D., *Fundamentals of Heat and Mass Transfer*, 5<sup>th</sup> ed., John Wiley & Sons, 2002.
- [8] Hiroshi, F., Masami, F., Hiroyasu, K., Hirochika, I., Sadahiro, N., Takashi, S., Takeshi, Y. and Michiyasu, S., "An implantable, focal brain cooling device suppresses nociceptive pain in rats", *Neuroscience Research*, Vol. 66, pp. 402 - 405, 2010.
- [9] Wusi, Q.; Hong, S.; Ying, Z.; Weimin, W.; Weiguo, L.; Qizhou, J.; Ming, L.; and Merriem, M.; "Noninvasive selective brain cooling by head and neck cooling is protective in severe traumatic brain injury", *Journal of Clinical Neuroscience*, Vol. 13, pp. 995 – 1000, 2006.
- [10] Na'ama, A. S.; Nikolaos, G.; Michal, H.; Gali, U.; Alexander, G. A.; Constantina, S.; Savvas, G.; Olga, T.; and Esther, S.; "Microglial involvement in neuroprotection following experimental traumatic brain injury in heat acclimated mice", *BRAIN RESEARCH*, Vol. 1244, pp. 132 – 141, 2008.
- [11] Irnédu, P.; Duncan, M.; Carola, N.; and Helen, P. L.; "c-Fos immunoreactivity in selected brain regions of rats after heat exposure and pyrogen administration", *BRAIN RESEARCH*, Vol. 1120, pp. 124-130, 2006.
- [12] Manuel, B.; Joshua, W. L.; Joseph, M. K.; Denise, B.; and Lance, B. B.; "Feasibility of intra-arrest hypothermia induction: A novel nasopharyngeal approach achieves preferential brain cooling", *Resuscitation*, Vol. 81, pp. 1025–1030, 2010.

و هوای اطراف آن باید در شرایط ناپایدار (واقعی) انجام شود تا بتوان به نتیجه واقعی رسید.

در این مقاله توزیع دما درون سر انسان و هوای اطراف آن را در حالت های پایدار و ناپایدار بررسی کردیم که این مسئله امکان بررسی های آینده در موارد زیر را آشکار می سازد:

۱. در این مقاله هوای اطراف سر دمای متوسطی دارد در صورتی که می توان توزیع دما درون سر انسان را در هوای گرم و سرد بررسی کرد و آنها را با یکدیگر مقایسه نمود تا از نتایج آن بتوان برای افرادی که در مناطق گرمسیر و سردسیر زندگی می کنند استفاده کرد.

۲. در این مقاله جریان جابه جایی آزاد تنها با منشا سر مدنظر قرار گرفت. در حالی که جابه جایی آزاد در سر تا حدودی متأثر از اندام های زیرین است.

## ماخذ

- [1] Van Leeuwen, G. M. J., Hand, J. W., Lagendijk, J. J. W., Azzopardi, D. V. and Edwards, A. D., "Numerical Modeling of Temperature Distributions within the Neonatal Head", *Pediatric Research*, Vol. 48, No. 3, pp. 351-356, 2000.
- [2] Dennis, B. H., Eberhart, R. C., Dulikravich, G. S. and Radons, S. W., "Finite Element Simulation of Cooling of Realistic 3-D Human Head and Neck", *J. Biomech. Eng.*, Vol. 125, pp. 832-840, 2003.
- [3] Xu, X., Tikuisis, P. and Giesbrecht, G., "A Mathematical Model for Human Brain Cooling During Cold-Water Near Drowning", *J. Applied Physiol.*, Vol. 86, pp. 265 -272, 1999.
- [4] Sukstanskii, A. L. and Yablonskiy, D. A., "An Analytical Model of Temperature Regulation in Human Head", *Journal of Thermal Biology*, Vol. 29, pp. 583- 587, 2004.

- [20] Han-Chung, L.; Hao-Che, C.; Der-Yang, C.; Kuang-Fu, C.; Pao-Hsuan, L.; and Chun-Chung, C.; "Applying Cerebral Hypothermia and Brain Oxygen Monitoring in Treating Severe Traumatic Brain Injury", *World Neurosurg*, Vol. 74, No. 6, pp. 654-660, 2010.
- [21] Darren, L. C.; Mark, P.; Shannon, W.; Ian, O. J.; and Frederick, C.; "Treatments (12 and 48 h) with systemic and brain-selective hypothermia techniques after permanent focal cerebral ischemia in rat", *Experimental Neurology*, Vol. 220, pp. 391-399, 2009.
- [22] On, F.; Yukiko, K.; Aya, F.; Hirotugu, F.; Ekaterine, T.; Shusaku, H.; Mihyon, S.; Takeshi, K.; Takayoshi, H.; Koichiro, S.; and Yuji, M.; "Post-ischemic hypothermia reduced IL-18 expression and suppressed microglial activation in the immature brain", *BRAIN RESEARCH*, Vol. 1121, pp. 35-45, 2006.
- [23] Ellen, G.; Matthias, P.; Georg, B.; and Herbert, B.; "Autopsy at 2 months after death: Brain is satisfactorily preserved for neuropathology", *Forensic Science International*, Vol. 168, pp. 177-182, 2007.
- [24] Kickhefel, A.; Roland, J.; Weiss, C.; and Schick, F.; "Accuracy of real-time MR temperature mapping in the brain: A comparison of fast sequences", *Physica Medica*, Vol. 26, pp. 192-201, 2010.
- [25] Kou-Chi, N.; Mao-Tsun, L.; and Ching-Ping, C.; "Hyperbaric oxygen improves survival in heatstroke rats by reducing multiorgan dysfunction and brain oxidative stress", *European Journal of Pharmacology*, Vol. 569, pp. 94-102, 2007.
- [26] Mehrdad, N.; and Reza, M. F.; "Estimation of cranial capacity and brain weight in 18–22-year-old Iranian adults", *Clinical Neurology and Neurosurgery*, Vol. 110, pp. 997–1002, 2008.
- [13] Adams, R.; and Koster, R.W.; "Burning issues: Early cooling of the brain after resuscitation using burn dressings, A proof of concept observation", *Resuscitation*, Vol. 78, pp. 146 – 150, 2008.
- [14] Gholam, K. M.; Patricia, S.; Eric, L. S.; Ronald, P. L.; William, R. S. W.; Pavel, I. O.; Stefano, V.; and Michael, A. R.; "Termination of epileptiform activity by cooling in rat hippocampal slice epilepsy models", *Epilepsy Research*, Vol. 70, pp. 200–210, 2006.
- [15] Wolfgang, W.; Danica, K.; Fritz, S.; Wolfgang, S.; Sandra, H.; Andreas, J.; Michael, H.; Udo, M. L.; and Wilhelm, B.; "Outcome after resuscitation using controlled rapid extracorporeal cooling to a brain temperature of 30 °C, 24 °C and 18 °C during cardiac arrest in pigs", *Resuscitation*, Vol. 81, pp. 242–247, 2010.
- [16] Yoshimasa, K.; Jun, K.; Atsuki, K.; Shigenao, M.; and Masato, F.; "Computer simulation for postmortem cooling processes in the outer ear", *Legal Medicine*, Vol. 9, pp. 55–62, 2007.
- [17] Ivan, O.; Fon-Chieh, C.; and Nachappa, G.; "Seizure control with thermal energy? Modeling of heat diffusivity in brain tissue and computer-based design of a prototype mini-cooler", *Epilepsy & Behavior*, Vol. 16, pp. 203–211, 2009.
- [18] Bert, C.; Yury, S.; and Friedemann, P.; "Heating up or cooling up the brain? MEG evidence that phrasal verbs are lexical units", *Brain & Language*, Vol. 115, pp. 189–201, 2010.
- [19] Kullervo, H.; Nathan, M. D.; Greg, C.; Ferenc, A. J.; Eyal, Z.; Ron, K.; Tara, M.; and Douglas, R.; "Pre-clinical testing of a phased array ultrasound system for MRI-guided noninvasive surgery of the brain-A primate study", *European Journal of Radiology*, Vol. 59, pp. 149–156, 2006.



آمویزیسم، فشار پایین خون، خفگی، ضربان زیاد، کمبود گلوكوز خون و در نهایت برخی از تومورها [ویراستار].

۵- سازیتال (Sagittal) صفحه‌ای عمودی است که از مرکز نقل بدن و شکاف سازیتال جمجمه می‌گذرد و بدن را به دو نیمه راست و چپ تقسیم می‌کند [اوستار].

## 6. MRI

7. Mechanical Desktop
  8. Boussinesq approximation
  9. Grashof number
  10. Nusselt number

**شرکت ایتراک**  
مهندسی و ساخت تجهیزات صنایع ایران

طراحی و ساخت تجهیزات صنایع :

به ویژه برای :

- صنایع غذایی و دارویی
- صنایع شیمیایی و پتروشیمی
- تجهیزات کشتارگاهها و صنایع جنبی گوشت
- سیستم‌های انتقال مواد
- تجهیزات خطوط رنگ کارخانه‌ها
- کوره‌های زباله‌سوز و لاشه سوز
- مخازن تحت فشار و راکتورها
- سازه‌های صنعتی و انواع گریتینگ با گالوانیزه گرم

تهران - خیابان ظفر - خیابان نصیری - بلوار سیما جنوبی - شماره ۱۶  
صندوق پستی ۱۱۳۹۵ - ۱۹۳۹۵

تلفن: ۰۹۹۰-۰۶۲۲۶۰۷۴۲ - ۰۶۲۲۷۷۸۲۹ - ۰۶۲۲۶۰۹۹۰

web site: [www.itrac-co.com](http://www.itrac-co.com)

E-mail: [info@itrac-co.com](mailto:info@itrac-co.com)

- [27] Ching-Ping, C.; Wu-Tein, H.; Bor-Chih, C.; Chuan-Chih, H.; and Mao-Tsun, L.; "The flavonoid baicalin protects against cerebrovascular dysfunction and brain inflammation in experimental heatstroke", *Neuropharmacology*, Vol. 52, pp. 1024-1033, 2007.
  - [28] Jinn-Rung, K.; Chong-Jeh, L.; Chung-Ching, C.; Ching-Ping, C.; and Mao-Tsun, L.; "Resuscitation from experimental traumatic brain injury by agmatine therapy", *Resuscitation*, Vol. 75, pp. 506-514, 2007.
  - [29] Wölfer, J.; Speckmann, E. J.; Wassmann, H.; Gorji, A.; and Greiner, C.; "Remote switching of temperature, gaseous, and aqueous phase in a low-volume interface chamber for brain slices", *Journal of Neuroscience Methods*, Vol. 193, pp. 77-81, 2010.
  - [30] Noults, J. C.; Izenson, M. G.; Greeley, H. P.; and Johnson, G. A.; "Design of a superconducting volume coil for magnetic resonance microscopy of the mouse brain", *Journal of Magnetic Resonance*, Vol. 191, pp. 231-238, 2008.
  - [31] Manuella, S. L. R.; Jason, S.; Patrick, M. K.; John, M.; Samuel, A. T.; and Tomas, D.; "Blood-brain barrier integrity in a rat model of emergency preservation and resuscitation", *Resuscitation*, Vol. 80, pp. 484-488, 2009.

پی نوشت

1. Pennes
  2. Gambit
  3. Fluent

۴. ایسکمی (Ischemia) در دانش پزشکی به کمرسیدن خون به اندام یا ناحیه‌ای از بدن گفته می‌شود. این عارضه سبب کمبود اکسیژن و نرسیدن مواد مغذی به بخش‌هایی از بدن شده و آسیب‌دیدن بافت‌ها یا سوء کار کرد اندام‌ها را درپی دارد. از جمله عوامل پدیدآورنده ایسکمی عبارت است از: تصلب شرایین، لخته‌شدن خون، اتفاقاً عروق، اختلالات مادرزادی قلبی،